

## Tricaprylmethylammonium Chloride에 의한 Acrylonitrile과 Methylmethacrylate의 라디칼 공중합(II) — 단량체 반응성비 —

박상욱<sup>†</sup> · 박대원 · 이성수\* · 양심석\*\* · 백재진

부산대학교 공과대학 화학공학과

\*포항종합제철주식회사 기술연구소

\*\*한일합섬주식회사 기술연구소

(1995년 6월 24일 접수, 1995년 10월 26일 채택)

## Radical Copolymerization of Acrylonitrile and Methylmethacrylate with Phase Transfer Tricaprylmethylammonium Chloride(II) — Monomer Reactivity Ratio —

Sang-Wook Park<sup>†</sup>, Dae-Won Park, Sung-Soo Lee\*, Sam-Seoung Yang\*\* and Jae-Jin Baek

Dept. of Chem. Eng., College of Eng., Pusan National University

\*Pohang Iron & Steel Co. Ltd.

\*\*Hanil Synthetic Fiber Co.

(Received 24 June 1995; accepted 26 October 1995)

### 요 약

회분식 고분자중합 반응기에서  $\text{Na}_2\text{S}_2\text{O}_4$  수용액상과  $\text{CCl}_4$  유기상 접촉계면을 통한 액-액 불균일상계에서 tricaprylmethylammonium chloride 상이동촉매를 사용하여 25°C, 질소기류하에서 acrylonitrile과 methylmethacrylate 단량체의 공중합 반응을 행하여 초기 공중합 반응속도를 측정하였다. 측정한 초기 공중합속도를 사용하여 액-액 불균일계 접촉계면을 통한 공중합 반응에서 공중합 반응기구를 해석하였으며, 이로부터 단량체의 반응성비를 구하였다. 재래적으로 사용하는 Kelen-Tüdös법 및 Fineman-Ross법으로 구한 값과 비교하였으며,  $M_1$ 과  $M_2$ 에 대한 반응성비는 각각 0.11과 2.30이었다.

**Abstract**—The phase-transfer radical copolymerization of acrylonitrile with methylmethacrylate by tricaprylmethylammonium chloride were investigated in a  $\text{Na}_2\text{S}_2\text{O}_4$  aqueous- $\text{CCl}_4$  organic two-phase system at 25°C and under nitrogen atmosphere. The monomer reactivity ratios,  $r_1$  and  $r_2$  were obtained by the copolymerization mechanism with a cyclic phase-transfer initiation step and compared with those obtained by using the Kelen-Tüdös method and Fineman-Ross method. Their values were 0.11 and 2.30, respectively.

**Key words:** Phase Transfer Catalyst, Copolymerization, Monomer Reactivity Ratio

### 1. 서 론

상이동촉매는 상간 불균일계의 접촉계면을 통해 이동된 성분의 화학반응에서 반응전화율의 증가, 반응조건의 완화(mild)를 목적으로 사용되며, 음이온 치환반응, 알킬화반응, 산화, 환원반응, 에스테르화반응, 가수분해반응 등[1-7] 뿐만 아니라 고분자중합 반응[8-26], 반응성 고분자의 화학반응[27-34]에 적용하여 중합 반응 조건을 개선하였다.

단일중합체의 단점을 보완하여 우수한 물리적 또는 화학적 성질을 지니고 있어 고분자 공업에 중요한 몫을 차지하는 공중합체[30]는

단일중합체의 합성과 같이 개시제를 사용하여 균일상에서 개시제의 분해온도 부근에서 합성한다. Park 등[31-34]은 상온에서 상이동촉매를 사용하여 acrylonitrile(AN)과 methylmethacrylate(MMA)의 단일중합체를 각각 합성하고, 불균일상간 용질의 분배계수와 수용액상에서 용질의 이온평형상수를 포함한 중합속도식을 제시하였다.

Park 등[35]은 상이동촉매인 tricaprylmethylammonium chloride (Aliquat 336)을 사용하여  $\text{Na}_2\text{S}_2\text{O}_4\text{-H}_2\text{O-CCl}_4\text{-toluene}$ 계에서 AN과 MMA 단량체의 라디칼 공중합 반응 실험을 행하여 공중합 반응 기구를 제시하였다. 본 연구에서는 전보[35]의 연구결과에서 얻어진

공중합 반응속도식을 사용하여 단량체의 반응성비를 구하여 Kelen-Tüdös법과 Fineman-Ross법으로 구한 값과 비교함으로서 공중합 반응속도식으로부터 단량체의 반응성비 산출 가능성을 제시하였다.

## 2. 이론

### 2-1. 공중합 반응속도법

25°C에서 AN(1)과 MMA(2) 단량체와 CCl<sub>4</sub>의 toluene 유기상과 Na<sub>2</sub>S<sub>2</sub>O<sub>4</sub> 수용액상간 액-액 불균일계에서 상이동촉매인 Aliquat 336 (QCl)을 사용하여 라디칼 공중합 반응이 일어날 경우 전보[35]의 연구결과로부터 얻은 중합 반응속도식( $r_p$ )과 공중합 반응속도식( $r_{pco}$ )은 각각 다음과 같다.

$$r_p = [Q^{\cdot}]_w [S_2O_4^{2-}]_w^{1/2} [CCl_4]_b^{1/2} (b_1f_1 + b_2) \quad (1)$$

여기서,

$$b_1 = \left[ \left( \frac{k_{11}^2}{k_{f1}} \right)^{1/2} + \left( \frac{k_{21}^2}{2k_{f2}} \right)^{1/2} \right] \left( \frac{fk_3K_3}{\alpha_2} \right)^{1/2} [M_2]_o \quad (2)$$

$$b_2 = \left[ \left( \frac{k_{22}^2}{2k_{f2}} \right)^{1/2} + \left( \frac{k_{12}^2}{k_{f1}} \right)^{1/2} \right] \left( \frac{fk_3K_3}{\alpha_2} \right)^{1/2} [M_2]_o \quad (3)$$

$$r_{pco} = [Q^{\cdot}]_w [S_2O_4^{2-}]_w^{1/2} [CCl_4]_b^{1/2} (b_3f_1 + b_4) \quad (4)$$

여기서,

$$b_3 = \left( \frac{2fk_3K_3}{\alpha_2} \right)^{1/2} \left( \frac{k_{21}^2}{k_{f2}} \right)^{1/2} [M_2]_o \quad (5)$$

$$b_4 = \left( \frac{2fk_3K_3}{\alpha_2} \right)^{1/2} \left( \frac{k_{12}^2}{k_{f1}} \right)^{1/2} [M_2]_o \quad (6)$$

Aliquat 336, Na<sub>2</sub>S<sub>2</sub>O<sub>4</sub> 및 CCl<sub>4</sub>의 주어진 농도에서 AN과 MMA의 단량체 조성비( $f_1$ ) 변화에 따라 측정한 중합 반응속도와 공중합 반응속도 측정값을 사용하여 식 (1)과 (4)로부터  $b_1$ - $b_4$ 을 구할 수 있다.

식 (2), (3), (5) 및 (6)에서  $b_1$ ,  $b_2$ ,  $b_3$ ,  $b_4$ 의 상관관계는 다음과 같다.

$$\left( \frac{k_{11}^2}{k_{f1}} \right)^{1/2} \left( \frac{2fk_3K_3}{\alpha_2} \right)^{1/2} [M_2]_o = b_1 - b_3 \quad (7)$$

$$\left( \frac{k_{22}^2}{k_{f2}} \right)^{1/2} \left( \frac{2fk_3K_3}{\alpha_2} \right)^{1/2} [M_2]_o = b_2 - b_4 \quad (8)$$

단량체의 반응성비,  $r_1$ 과  $r_2$ 를 각각  $k_{11}/k_{f1}$ ,  $k_{22}/k_{f2}$ 로 정의하면,  $r_1$ 과  $r_2$ 는 식 (5)-(8)로부터 얻어진 다음과 같은 관계식을 사용하여 구할 수 있다.

$$r_1 = \frac{b_1 - b_3}{b_4} \quad (9)$$

$$r_2 = \frac{b_2 - b_4}{b_3} \quad (10)$$

### 2-2. Kelen-Tüdös법[36]

Kelen-Tüdös법에 따라 다음과 같은 과정을 사용하여  $r_1$ 과  $r_2$ 를 구하였다.

$$\eta = \left( r_1 + \frac{r_2}{\alpha} \right) \xi - \frac{r_2}{\alpha} \quad (11)$$

여기서,

$$\eta = \frac{D}{\alpha + C}, \xi = \frac{C}{\alpha + D}, C = \frac{f_1^2}{f_2}, D = \frac{f_1(f_2 - 1)}{f_2}$$

$\alpha = \sqrt{C_{min} \times C_{max}}$ ,  $f_1 = M_1/M_2$ ,  $f_2 = m_1/m_2$ 이며  $M_i$ 는 단량체의 농도이고  $m_i$ 는 공중합체 내에 단량체 단위의 농도이다. (11)식에서  $\eta$ 를 세로축,  $\xi$ 를 가로축으로 하여 도시하면  $\xi = 0$ 에서  $\eta = -r_2/\alpha$ 이고,  $\xi = 1$ 에서  $\eta = r_1\alpha$  되므로 여기서  $r_1$ 과  $r_2$ 를 구할 수 있다.

### 2-3. Fineman-Ross법[37]

Mayo와 Walling[38] 및 Walling[39]은 정상상태에서 각 단량체의 감소속도는 동일하여 다음과 같은 식을 제시하였다.

$$\frac{d[M_1]}{d[M_2]} = \frac{[M_1] (r_1[M_1] + [M_2])}{[M_2] ([M_1] + r_2[M_2])} \quad (12)$$

식 (12)를 단량체의 공급농도비,  $f_1$ 과 공중합체 내 단량체 농도비,  $f_2$ 로 변형하면 다음과 같다.

$$\frac{f_2 - 1}{f_1} = r_1 - r_2 \frac{f_2}{f_1^2} \quad (13)$$

$f_2 - 1/f_1$ 과  $f_2/f_1^2$ 의 상관관계로부터  $r_1$ 과  $r_2$ 를 구할 수 있다.

## 3. 결과 및 고찰

일반적으로 단량체의 반응성비를 사용하여 공중합 반응에서 단량체가 반응속도에 미치는 영향을 검토한다. 단량체반응성비  $r_1$ 과  $r_2$ 를 전보[35]에서 정의한 각 반응의 반응속도 정수비,  $k_{11}/k_{12}$ 와  $k_{22}/k_{21}$ 로 각각 정의한다. AN(1)과 MMA(2)의 공중합 반응에서 Kelen-Tüdös법[36]과 Fineman-Ross법[37]을 사용하여 구한 단량체 반응성비값과 본 연구에서 공중합 실험으로부터 구한 초기 중합속도,  $r_p$ 와 초기 공중합속도,  $r_{pco}$ 를 사용하여 단량체반응성비를 구하여 비교하였다.

단량체 AN과 MMA의 공중합 반응속도를 측정하기 위해 사용된 중합 반응조, 시약 및 공중합 반응실험방법은 전보[35]의 실험과 동일하였으며 전보[35]에서 공중합체의 합성을 확인하였다.

### 3-1. Kelen-Tüdös법에 의한 반응성비

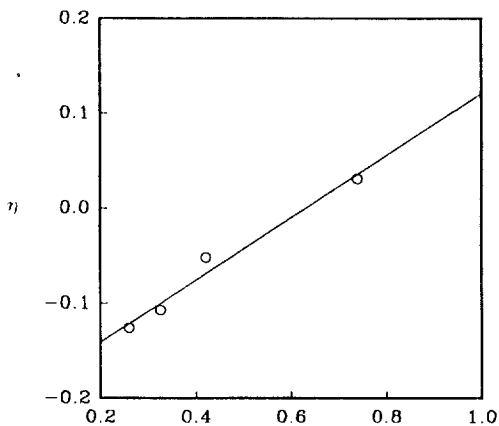
단량체 20 ml, CCl<sub>4</sub>, 1 mmol을 용해한 toluene용액과 Na<sub>2</sub>S<sub>2</sub>O<sub>4</sub> 15 mmol가 용해된 수용액 80 ml의 혼합용액에 상이동촉매, Aliquat 336의 첨가량을 0.01 mmol에서 1.0 mmol까지 변화시키면서 단량체 AN과 MMA의 공급조성,  $M_1$ 과  $M_2$ 의 변화에 따라 공중합 실험을 25°C에서 행하였다. 중합시간을 조절하여 전화율이 10%이내의 범위에서 얻어진 공중합체를 원소분석기로서 질소함량을 분석하여 공중합체에서 AN과 MMA의 조성  $m_1$ 과  $m_2$ 를 구하였다. 단량체 AN과 MMA의 공급조성에서  $M_1$ 을 25에서 87.5 mole%까지 변화한 공중합 실험으로부터 측정한  $m_1$ 과  $m_2$ 를 식 (11)로부터  $\eta$ 와  $\xi$ 를 구하였다. 상이동 촉매 0.01 mmol을 첨가한 경우를 대표적으로하여 단량체의 공급조건, 반응시간, 전화율 및 원소분석기로 질소함유량을 분석하여 공중합체의 단량체 조성비를 Table 1, Kelen-Tüdös법의 과라

**Table 1. Composition of monomers in feed and copolymer for copolymerization of AN(1) and MMA(2) using Aliquat 336, 0.01 mmol at 25°C**

Polymerization time (min)	Monomer feed (mole %)		Copolymer (mole %)		Nitrogen content (wt %)	Conversion
	M <sub>1</sub>	M <sub>2</sub>	m <sub>1</sub>	m <sub>2</sub>	(wt %)	(wt %)
64	55.6	44.4	28.0	72.0	6.13	6.79
61	61.9	38.1	31.8	68.2	7.02	3.32
60	70.7	29.3	41.2	58.8	9.28	4.68
64	79.0	21.0	55.9	44.1	13.09	5.81

**Table 2. Determination of monomer reactivity ratio from Kelen-Tüdös method for copolymerization of AN and MMA using Aliquat 336, 0.01 mmol ( $\alpha = 11.54$ )**

M <sub>1</sub> mole %	m <sub>1</sub> mole %	f <sub>1</sub>	f <sub>2</sub>	C	D	$\xi$	$\eta$
				$f_1^2$	$f_1(f_2 - 1)$	C	D
55.6	28.0	1.267	0.389	4.060	-1.975	0.260	-0.126
61.9	31.8	1.614	0.467	5.579	-1.841	0.325	-0.107
70.7	41.2	2.422	0.699	8.3861	-1.041	0.421	-0.052
79.0	55.9	3.767	1.271	32.8076	1.377	0.739	0.031



**Fig. 1. Kelen-Tüdös plot for copolymerization of AN and MMA.**  
(Aliquat 336: 0.01 mmol, CCl<sub>4</sub>: 1 mmol, Na<sub>2</sub>S<sub>2</sub>O<sub>8</sub>: 15 mmol rpm: 950, AN+MMA: 20 cc, H<sub>2</sub>O: 80 cc)

미터값을 Table 2에 나타내었으며 이로부터  $\eta$ 와  $\xi$ 에 대해 Fig. 1에 나타내었다. 이 그림에서 알 수 있는 바와 같이 플롯은 직선을 만족하였으며 최소자승법을 사용하여  $\xi=0$ 과  $\xi=1$ 에서 직선의 절편으로부터  $r_1$ 과  $r_2$ 를 구하였다. 상이동촉매의 농도변화에 따라 구한  $r_1$ 과  $r_2$  및 80°C에서 개시제 AIBN을 사용하여 구한 값을 Table 3에 각각 나타내었다.

### 3-2. Fineman-Ross법에 의한 반응성비

Kelen-Tüdös법에서 사용한 동일한 실험변수에 대해  $m_1$ 과  $m_2$ 를 구하였다. 상이동촉매 첨가량은 0.01 mmol인 경우를 대표적으로 하여 Fineman-Ross법의 파라미터값을 Table 4에 나타내었으며, 이로부터  $f_2/f_1^2$ 에 대한 식 (12)의 좌측항을 플롯하여 Fig. 2에 나타내었다. Fig. 2에서 플롯은 직선을 잘 만족하였으며, 이 직선의 최

**Table 3. Reactivity ratio for copolymerization of AN(1) and MMA(2)**

Polymerization temp.(°C)	Initiator	Amount (mmol)	$r_1^*$	$r_1^{**}$	$r_2^*$	$r_2^{**}$	$r_1^{***}$	$r_2^{***}$
25	A-336	0.01	0.136	0.121	2.510	2.392		
25	A-336	0.03	0.106	0.115	2.404	2.481		
25	A-336	0.1	0.103	0.113	2.106	2.145	0.12	2.19
25	A-336	0.28	0.115	0.121	2.472	2.526		
25	A-336	1	0.090	0.061	2.059	1.862		
80	AIBN	2	0.232	0.238	1.270	1.286		

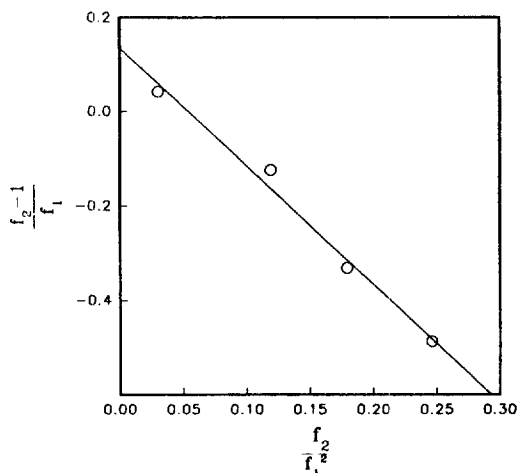
\*: Fineman-Ross method

\*\*: Kelen-Tüdös method

\*\*\*: Copolymerization rate method

**Table 4. Determination of monomer reactivity ratio from Fineman-Ross method for copolymerization of AN(1) and MMA(2) using Aliquat 336, 0.01 mmol**

M <sub>1</sub> mole %	m <sub>1</sub> mole %	f <sub>1</sub> (M <sub>1</sub> /M <sub>2</sub> )	f <sub>2</sub> (m <sub>1</sub> /m <sub>2</sub> )	$f_2$	$f_2 - 1$
55.6	28.0	1.267	0.389	0.246	-0.486
61.9	31.8	1.614	0.467	0.179	-0.331
70.7	41.2	2.422	0.699	0.119	-0.124
79.0	55.9	3.767	1.271	0.030	0.042



**Fig. 2. Fineman-Ross plot for copolymerization of AN and MMA.**  
(Aliquat 336: 0.01 mmol, CCl<sub>4</sub>: 1 mmol, Na<sub>2</sub>S<sub>2</sub>O<sub>8</sub>: 15 mmol rpm: 950, AN+MMA: 20 cc, H<sub>2</sub>O: 80 cc)

소자승법으로부터 구한 직선의 절편과 기울기로부터  $r_1$ 과  $r_2$ 를 구하였다. 상이동촉매의 농도 변화 및 AIBN의 경우  $r_1$ ,  $r_2$ 값을 Table 3에 나타내었다. 반응온도 25°C에서 AIBN을 사용한 경우에 공중합체는 생성되지 않아 동일한 온도에서 두 촉매에 의한  $r_1$ 과  $r_2$ 는 비교할 수 없으나 상기 두 방법에서 구한  $r_1$ 과  $r_2$ 는 거의 동일한 것으로 나타났다. 또한  $r_1$ 은 1보다 작고  $r_2$ 는 1보다 크게 나타났으며 문헌치[40, 41]의 경향과 일치하였다. 이로부터 AN의 라디칼과 반응하는 MMA 단량체가 AN의 단량체보다 반응성이 크며 MMA의 라디칼이 AN 라디칼보다 안정하다는 것을 알 수 있다. 또한 상이동촉매에 의한  $r_1$ 이 AIBN의  $r_1$ 보다 작은 값을, 그리고  $r_2$ 는 큰 값을 나타낸 것으로 보아 사용한 4급 암모늄염 촉매가 AIBN보다 MMA의 라디칼을 보다 안정화시키는 측면 역할을 하는 것으로 추측된다.

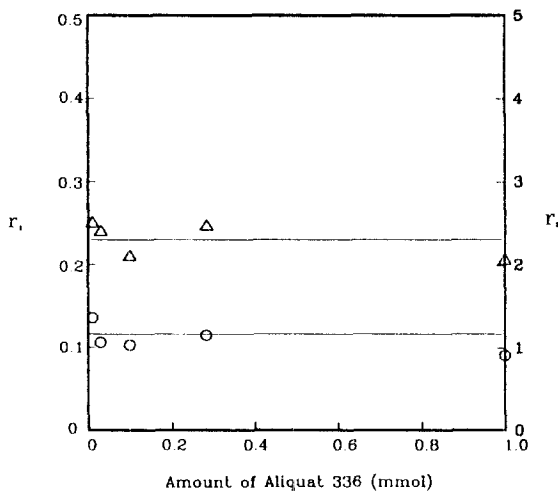


Fig. 3. Dependence of amount of Aliquat 336 on the monomer reactivity ratios,  $r_1$  and  $r_2$  by Fineman-Ross method.

(○:  $r_1$ , △:  $r_2$ )

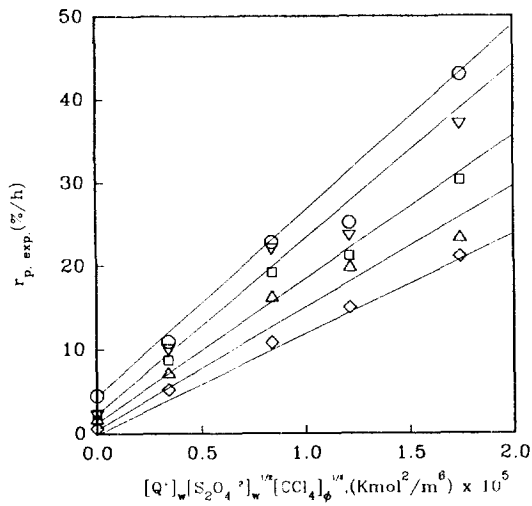


Fig. 4. Effect of Aliquat 336 on the polymer conversion.

( $\text{Na}_2\text{S}_2\text{O}_4$ : 15 mmol,  $\text{CCl}_4$ : 1 mmol,  $\text{H}_2\text{O}$ : 160 ml, ○:  $m_1/m_2 = 28.5$  ml/11.5 ml, ▽: 22.13 ml/17.87 ml, □: 15.3 ml/24.7 ml, △: 9.46 ml/30.54 ml, ◇: 5.4 ml/34.6 ml)

촉매농도가 반응성비에 미치는 영향을 고찰하기 위해 Aliquat 336의 농도변화에 대해 Fineman-Ross법에 의한  $r_1$ 과  $r_2$ 를 대표적으로 Fig. 3에 도시하였다.  $r_1$ 과  $r_2$ 의 측정값이 거의 동일한 값을 나타낸 것으로 보아 촉매의 농도가  $r_1$ ,  $r_2$ 에 미치는 영향은 크지 않음을 알 수 있다. 사용한 촉매 농도범위에서 구한  $r_1$ 과  $r_2$ 의 평균값은 각각 0.11과 2.30이었다.

### 3-3. 공중합속도로부터 반응성비

공중합 반응에서 초기 중합속도와 초기 공중합속도를 측정하여 단량체의 반응성비를 구하였다. 교반속도 1000 rpm, 중합 반응온도 25°C에서  $\text{Na}_2\text{S}_2\text{O}_4$ , 15 mmol,  $\text{CCl}_4$  1 mmol,  $\text{H}_2\text{O}$  160 ml, AN 28.5 ml, MMA 11.5 ml를 대표로 하여 Aliquat 336의 첨가량, 0~0.2 mmol의 범위에서 중합 반응으로 얻어진 고형분으로부터 중합속도,  $r_p$ 와 공중합속도  $r_{p,0}$ 를 측정하였다. Aliquat 336의 변화량에 따라 측정한

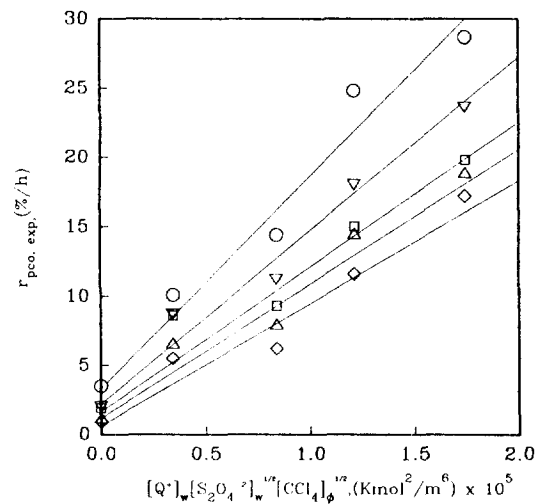


Fig. 5. Effect of Aliquat 336 on the copolymer conversion.

( $\text{Na}_2\text{S}_2\text{O}_4$ : 15 mmol,  $\text{CCl}_4$ : 1 mmol,  $\text{H}_2\text{O}$ : 160 ml, ○:  $m_1/m_2 = 28.5$  ml/11.5 ml, ▽: 22.13 ml/17.87 ml, □: 15.3 ml/24.7 ml, △: 9.46 ml/30.54 ml, ◇: 5.4 ml/34.6 ml)

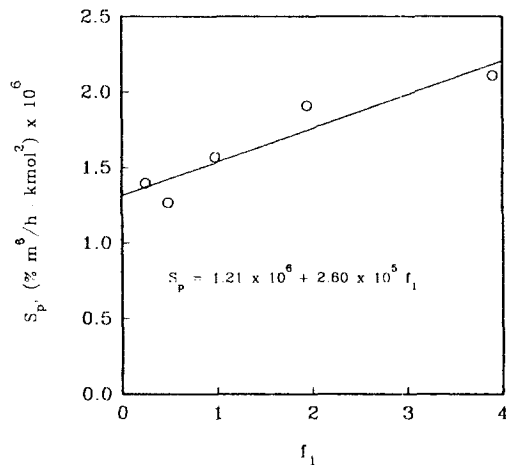


Fig. 6. Slope from linear relationship between  $r_p$  and  $[Q^+]_w [\text{S}_2\text{O}_4^{2-}]_w^{1/2} [\text{CCl}_4]_w^{1/2}$  for change of Aliquat 336 from Fig. 4 vs. mole ratio of AN and MMA,  $f_1$ .

$r_p$ 와  $r_{p,0}$ 는 식 (1)과 (4)의  $[Q^+]_w [\text{S}_2\text{O}_4^{2-}]_w^{1/2} [\text{CCl}_4]_w^{1/2}$ 에 대해 도시하여 Fig. 4와 5에 나타내었다. AN과 MMA의 다른 농도에서 측정한  $r_p$ 와  $r_{p,0}$ 를 Fig. 4와 5에 나타내었으며 이를 플롯은 직선관계가 성립하였다.

따라서 AN과 MMA의 각 농도에 대해서 선형관계에서 구한 기울기를 AN과 MMA의 농도비,  $f_1$ 에 대해 도시하여 Fig. 6과 7에 나타내었다. 이들 그림에서 알 수 있는 바와 같이 플롯은 직선관계가 성립하였다. 따라서 Fig. 4와 5의 기울기는 식 (1)과 (4)에서  $[Q^+]_w [\text{S}_2\text{O}_4^{2-}]_w^{1/2} [\text{CCl}_4]_w^{1/2}$ 에 대한  $r_p$  또는  $r_{p,0}$ 의 비로서  $b_1 f_1 + b_2$  또는  $b_3 f_1 + b_4$ 가 되며, Fig. 6과 7에서  $f_1$ 에 대한 기울기로부터 얻어진 직선의 구한 기울기와 절편은  $b_1$  또는  $b_3$ 와  $b_2$  또는  $b_4$ 에 해당된다.

Fig. 6에서 구한 직선식은 다음과 같다.

$$S_p = 2.60 \times 10^5 f_1 + 1.21 \times 10^6 \quad (14)$$

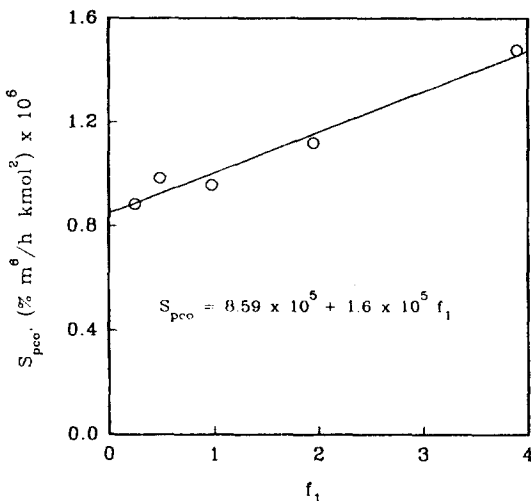


Fig. 7. Slope from linear relationship between  $r_{pco}$  and  $[Q^+]_w [S_2O_4^{2-}]_w^{1/2} [CCl_4]_o^{1/2}$  for change of Aliquat 336 from Fig. 5 vs. mole ratio of AN and MMA,  $f_1$ .

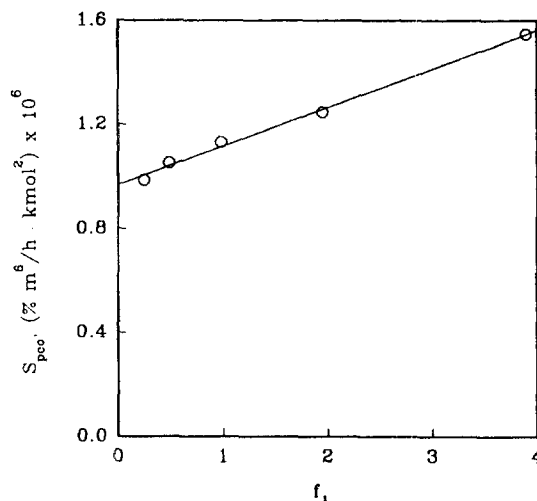


Fig. 9. Slope of linear relationship between  $r_{pco}$  and  $[Q^+]_w [S_2O_4^{2-}]_w^{1/2} [CCl_4]_o^{1/2}$  for change of  $Na_2S_2O_4$  from Fig. 8 vs. mole ratio of AN and MMA,  $f_1$ .

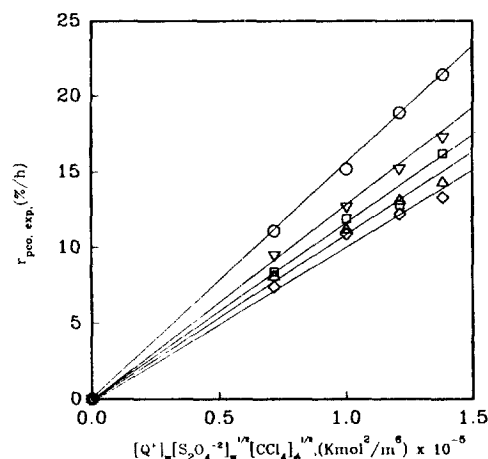


Fig. 8. Effect of  $Na_2S_2O_4$  on the copolymer conversion.  
(QCl: 0.1 mmol, CCl<sub>4</sub>: 1 mmol, H<sub>2</sub>O: 160 ml,  $\circ$ :  $m_1/m_2 = 28.5$  ml/11.5 ml,  $\nabla$ : 22.13 ml/17.87 ml,  $\square$ : 15.3 ml/24.7 ml,  $\triangle$ : 9.46 ml/30.54 ml,  $\diamond$ : 5.4 ml/34.6 ml)

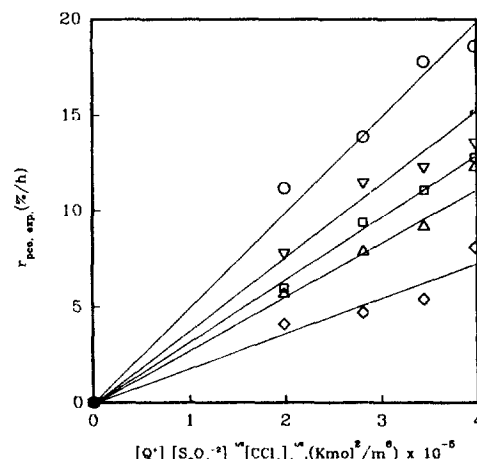


Fig. 10. Effect of  $CCl_4$  on the copolymer conversion.  
(QCl: 0.1 mmol,  $Na_2S_2O_4$ : 15 mmol, H<sub>2</sub>O: 160 ml,  $\circ$ :  $m_1/m_2 = 28.5$  ml/11.5 ml,  $\nabla$ : 22.13 ml/17.87 ml,  $\square$ : 15.3 ml/24.7 ml,  $\triangle$ : 9.46 ml/30.54 ml,  $\diamond$ : 5.4 ml/34.6 ml)

Fig. 7에서 구한 직선식은 다음과 같다.

$$S_p = 1.60 \times 10^5 f_1 + 8.59 \times 10^5 \quad (15)$$

식 (1)과 (14)를 비교하면,  $b_1$ 는  $k_{11}$ 과  $k_{21}^o$  포함된 상수로서  $2.60 \times 10^6$ 이며,  $b_2$ 는  $k_{22}$ 와  $k_{12}$ 가 포함된 상수로서  $1.21 \times 10^6$ 이다.

식 (4)와 (15)를 비교하면,  $k_{21}^o$  포함된  $b_3$ 는  $1.60 \times 10^5$ ,  $k_{12}$ 가 포함된  $b_4$ 는  $8.59 \times 10^5$ 이다.

따라서 이들  $b_1$ ,  $b_2$ ,  $b_3$ ,  $b_4$ 로부터 다음과 같은 상수를 구할 수 있다.

$$\left(\frac{k_{11}}{k_1}\right)^{1/2} \left(\frac{fk_1 K_3}{\alpha_2}\right)^{1/2} [M_2]_o = 1.0 \times 10^6 [\% m^6/h \text{ kmol}^2] \quad (16)$$

$$\left(\frac{k_{22}}{k_2}\right)^{1/2} \left(\frac{fk_2 K_3}{\alpha_2}\right)^{1/2} [M_2]_o = 3.5 \times 10^5 [\% m^6/h \text{ kmol}^2] \quad (17)$$

$$\left(\frac{k_{12}}{k_2}\right)^{1/2} \left(\frac{fk_2 K_3}{\alpha_2}\right)^{1/2} [M_2]_o = 8.59 \times 10^5 [\% m^6/h \text{ kmol}^2] \quad (18)$$

$$\left(\frac{k_{21}}{k_1}\right)^{1/2} \left(\frac{fk_1 K_3}{\alpha_2}\right)^{1/2} [M_2]_o = 1.60 \times 10^6 [\% m^6/h \text{ kmol}^2] \quad (19)$$

AN과 MMA의 정지반응속도 상수,  $k_{11}$ 과  $k_{22}$ 가 동일한 값일 경우 식 (16)과 (18)의 비는  $k_{11}/k_{12}$ 에 해당되는  $r_1^o$ 이고, 그 값은 0.12이며, 식 (17)과 (19)의 비는  $k_{22}/k_{21}$ 에 해당되는  $r_2^o$ 이며, 그 값은 2.19이며, 이를 값을 Table 3에 나타내었다. 이를  $r_1$ 과  $r_2$ 의 값을 Kelen-Tüdös법 또는 Fineman-Ross법에서 구한  $r_1$ (0.11)과  $r_2$ (2.30)에 근접한 값을 취급할 수 있다. 따라서 단량체의 반응성비는 액-액 불균일계의 공중합반응기구 해석으로부터 구할 수 있었다.

AN과 MMA의 공중합 반응성비에  $Na_2S_2O_4$ 의 영향을 고찰하기 위하여 교반속도 1000 rpm, QCl 0.1 mmol, CCl<sub>4</sub> 1 mmol, AN 28.5 ml, MMA 11.5 ml, H<sub>2</sub>O 160 ml의 조성에  $Na_2S_2O_4$  0에서 20 mmol 까지 변화하여 전체 중합속도,  $r_p$ 와 공중합속도,  $r_{pco}$ 를 측정하였다. 식 (4)의  $[Q^+]_w [S_2O_4^{2-}]_w^{1/2} [CCl_4]_o^{1/2}$ 을 공중합속도,  $r_{pco}$ 에 대해서 도시하여 Fig. 8에 나타내었다. 이 그림에서  $r_{pco}$ 는  $[Q^+]_w [S_2O_4^{2-}]_w^{1/2}$

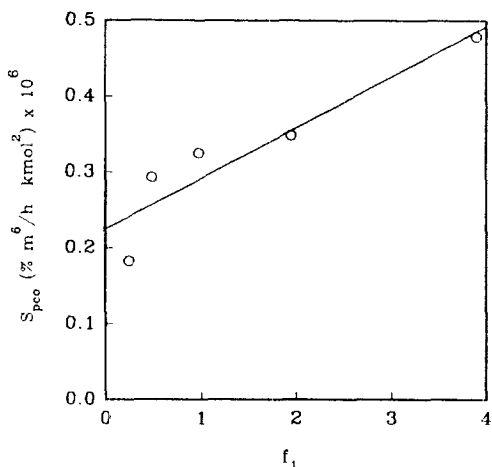


Fig. 11. Slope of linear relationship between  $r_{pco}$  and  $[Q^+]_w[S_2O_4^{2-}]_w^{1/2}[CCl_4]_o^{1/2}$  for change of  $CCl_4$  from Fig. 10 vs. mole ratio of AN and MMA,  $f_1$ .

$[CCl_4]_o^{1/2}$ 에 대해서 직선관계가 성립함을 알 수 있었다. AN과 MMA의 각 농도에 대한 선형관계에서 구한 기울기를 AN과 MMA의 농도비,  $f_1$ 에 대해 도시하여 Fig. 9에 나타내었다. Fig. 11에서 알 수 있는 바와 같이 플롯은 직선관계가 성립하였으며, 직선의 기울기는 절편으로부터 구한 실험식은 Aliquat 336변화로부터 얻어진 실험식 (15)과 일치하였다.

공중합의 반응성비에  $CCl_4$ 의 영향을 고찰하기 위하여 교반속도 1000 rpm, QCl 0.1 mmol,  $Na_2S_2O_4$  15 mmol, AN 28.5 ml, MMA 11.5 ml,  $H_2O$  160 ml의 조성에  $CCl_4$ 를 0에서 1.0 mmol까지 변화하여 공중합속도를  $[Q^+]_w[S_2O_4^{2-}]_w^{1/2}[CCl_4]_o^{1/2}$ 에 대해서 Fig. 10에 도시하였으며, 플롯은 직선관계가 성립한 것으로 보아 공중합속도는 사용한  $CCl_4$  농도의 1/2승에 비례함을 알 수 있었다. AN과 MMA의 각 농도에 대한 선형관계에서 구한 기울기를 AN과 MMA의 농도비,  $f_1$ 에 대해 도시하여 Fig. 11에 나타내었다. Fig. 11에서 알 수 있는 바와 같이 플롯은 직선관계가 성립하였으며 직선의 실험식은 식 (15)과 일치하였다. 따라서 Aliquat 336,  $Na_2S_2O_4$ ,  $CCl_4$  변화에 따라 측정한  $r_p$ 와  $r_{pco}$ 를 식 (1)과 (4)에 사용하여  $r_1$ 과  $r_2$ 를 구할 수 있었으며, 그 값은 재래적으로 사용하는 Fineman-Ross법과 Kelen-Tüdös법으로 구한 값에 근사한 값이었다.

이상과 같이 중합속도와 공중합속도 측정값으로부터 단량체의 반응성비를 구할 수 있었다. 또한 이 방법은 공중합체의 단량체 조성비를 분석하여 반응성비를 구하는 Fineman-Ross법과 Kelen-Tüdös법보다 실험적으로 간편한 방법으로 생각되나 반응성비의 정확성을 위해서는 중합체 또는 공중합체의 중량분석의 정확성이 있어야 하겠다.

#### 4. 결 론

회분식 고분자 중합조에서  $Na_2S_2O_4$  수용액상과  $CCl_4$  유기상 접촉계면을 통한 액-액 불균일 상계에서 tricaprylmethylammonium chloride 상이동촉매를 사용하여 25°C, 질소기류하에서 acrylonitrile과 methylmethacrylate의 공중합 반응을 행하여 초기 공중합 반응속도를 측정하였다. 측정한 초기 공중합속도를 사용하여 액-액 불균일계 접촉계면을 통한 공중합 반응에서 공중합 반응기구를 해석하였으며, 이로부터 단량체의 반응성비를 구하였다. 재래적으로

사용하는 Kelen-Tüdös법 및 Fineman-Ross법으로 구한 값과 비교하였으며,  $M_1$ 과  $M_2$ 에 대한 반응성비는 각각 0.11과 2.30이었다.

단량체의 반응성비는 상이동촉매의 첨가량 0.01 mmol에서 0.2 mmol범위에서 상이동촉매의 농도변화에 무관하게 일정한 값을 나타내었다.

단량체의 반응성비를 구하기 위해 필요한 상수는 다음과 같다.

$$\left(\frac{k_{11}^2}{k_1}\right)^{1/2} \left(\frac{fk_1K_3}{\alpha_2}\right)^{1/2} [M_2]_o = 1.0 \times 10^5 [\% \text{ m}^6/\text{h kmol}^2]$$

$$\left(\frac{k_{22}^2}{k_2}\right)^{1/2} \left(\frac{fk_2K_3}{\alpha_2}\right)^{1/2} [M_2]_\phi = 3.5 \times 10^5 [\% \text{ m}^6/\text{h kmol}^2]$$

$$\left(\frac{k_{12}^2}{k_2}\right)^{1/2} \left(\frac{fk_2K_3}{\alpha_2}\right)^{1/2} [M_2]_\phi = 8.59 \times 10^5 [\% \text{ m}^6/\text{h kmol}^2]$$

$$\left(\frac{k_{21}^2}{k_1}\right)^{1/2} \left(\frac{fk_1K_3}{\alpha_2}\right)^{1/2} [M_2]_\phi = 1.60 \times 10^5 [\% \text{ m}^6/\text{h kmol}^2]$$

#### 사용기호

- $f_1$  : molar ratio of monomers in feed defined by  $M_1/M_2$
- $f_2$  : molar ratio of monomers in copolymer defined by  $m_1/m_2$
- $k_r$  : reaction rate constant of the reaction between  $Q_2S_2O_4$  and  $CCl_4$  in organic phase [ $\text{m}^3/\text{kmol} \cdot \text{h}$ ]
- $k_{ij}$  : reaction rate constant for radical of i species and monomer of j species [ $\text{m}^3/\text{kmol} \cdot \text{h}$ ]
- $k_a$  : terminate rate constant between  $P_n \cdot$  and  $P_m \cdot$  of i species monomer in organic phase [ $\text{m}^3/\text{kmol} \cdot \text{h}$ ]
- $K_1$  : equilibrium constant defined by Eq. (6) of previous paper [35] [ $\text{kmol}/\text{m}^3$ ]
- $K_2$  : equilibrium constant defined by Eq. (7) of previous paper [35] [ $\text{kmol}/\text{m}^3$ ]<sup>2</sup>
- $K_3$  : equilibrium constant defined by Eq. (8) of previous paper [35] [ $\text{m}^3/\text{kmol}$ ]<sup>2</sup>
- $M_i$  : monomer of i species
- $m_i$  : concentration of i species in copolymer
- $r_1$  : monomer reactivity ratio defined by  $k_{11}/k_{12}$
- $r_2$  : monomer reactivity ratio defined by  $k_{22}/k_{21}$
- $r_p$  : polymerization rate of total polymer including PAN, PMMA and copolymer [%/h]
- $r_{pco}$  : copolymerization rate [%/h]

#### 그리아스 문자

- $\circ$  : organic phase
- $w$  : aqueous phase
- $\phi$  : initial value

#### 참고문헌

- Weber, W. P. and Gokel, W. G.: "Phase Transfer Catalysis in Organic Synthesis", Springer-Verlag, New York(1977).

2. Starks, C. M. and Liotta, C.: "Phase Transfer Catalysis-Principle and Techniques", Academic Press, New York(1978).
3. Dehmlow, E. V. and Dehmlow, S. S.: "Phase Transfer Catalysis", 2nd Ed. Verlag Chemie, Weinheim(1983).
4. Starks, C. M.: "Phase-Transfer Catalysis, New Chemistry, Catalysis, and Applications", Am. Chem. Soc., Washington, DC. (1987).
5. Park, S. W., Moon, J. B., Park, D. W. and Shin, J. H.: *HWAHAK KONGHAK*, **31**, 107(1993).
6. Park, S. W., Moon, J. B., Park, D. W. and Shin, J. H.: *HWAHAK KONGHAK*, **32**, 222(1994).
7. Park, S. W., Moon, J. B., Park, D. W. and Shin, J. H.: *ibid.*, **32**, 222(1994).
8. Imai, Y., Abe, S. and Ueda, M.: *J. Polym. Sci., Polym. Chem. Ed.*, **19**, 3285(1981).
9. Podkoscielny, W. and Kultys, A.: *J. Appl. Polym. Sci.*, **26**, 1143 (1981).
10. Yamazaki, N. and Imai, Y.: *Polym. J.*, **15**, 603(1983).
11. Tsai, H. and Lee, Y.: *J. Polym. Sci., Polym. Chem. Ed.*, **25**, 1505 (1987).
12. Kellman, R., Willians, R. F., Dimotis G., Gerbi, D. J. and Willians, J. C.: *J. Am. Chem. Soc.*, **109**, 128(1987).
13. Yamada, B., Yasuda, Y., Matsushita, T. and Otsu, T.: *Polym. Sci., Polym. Lett. Ed.*, **14**, 277(1976).
14. Reetz, M. T. and Ostarek, R.: *J. Chem. Soc., Chem. Commun.*, 213(1988).
15. Rasmussen, J. K. and Smith, H. K. Jr.: *J. Am. Chem. Soc.*, **103**, 730(1981).
16. Jayakrishnan, A. and Shah, D. O.: *J. Polym. Sci., Polym. Chem. Ed.*, **21**, 3201(1983).
17. Jayakrishnan, A. and Shah, D. O. J.: *Appl. Polym. Sci.*, **29**, 2937 (1984).
18. Ramussen, J. K., Heilman, S. M., Krebski, L. R. and Smith II, H. K.: *J. Am. Chem. Soc.*, **109**, 116(1987).
19. Shimada, S., Obata, Y., Nakagawa, K. and Tabuchi, K.: *Polym. J.*, **23**, 305(1991).
20. Tabuchi, K. and Sakota, N.: *Polym. J.*, **15**, 713(1983).
21. Shimada, S., Nakagawa, K. and Tabuchi, K.: *Polym. J.*, **21**, 275 (1989).
22. Shimada, S., Obata, Y., Nakagawa, K. and Tabuchi, K.: *Polym. J.*, **22**, 777(1990).
23. Nishikubo, N., Iizawa, T., Kobayasi, K. and Masuda, Y.: *Macromolecules*, **16**, 722(1983).
24. Kondo, S., Yasui, H., Ohta, K. and Tsuda, K.: *J. Chem. Soc., Chem. Commun.*, 400(1985).
25. Nicholas, P. P.: *J. Am. Chem. Soc.*, **109**, 155(1987).
26. Martinez, G., Mijangos, C., Terroba, P. and Millan, J.: *J. Polym. Sci., Polym. Chem. Ed.*, **26**, 1629(1988).
27. Percer, S.: *J. Appl. Polym. Sci.*, **36**, 415(1988).
28. Bulacovschi, V., Mihailescu, C., Ioan, S. and Simionescu, B. C.: *J. Macromol. Sci. Chem.*, **A28**, 613(1991).
29. Shimada, S., Obata, Y., Nakagawa, K. and Tabuchi, K.: *Polym. J.*, **23**, 305(1991).
30. Seymour, R. B. and Carrher, C. E. Jr.: "Polymer Chemistry", New York, p. 320(1981).
31. Park, S. W., Moon, J. B., Ha, Y. S. and Lim, G. T.: *Polymer*, **17**, 100(1993).
32. Park, S. W., Moon, J. B., Ha, Y. S. and Kim, J. H.: *J. Korean Ind. & Eng. Chemistry*, **4**, 300(1993).
33. Park, S. W., Christiawaty, K. F. and Baek, J. J.: *Polymer*, **19**, 1(1995).
34. Park, S. W., Christiawaty, K. F., Baek, J. J. and Yang, S. S.: *HWAHAK KONGHAK*, **33**, 79(1995).
35. Park, S. W., Park, D. W., Lee, S. S., Yang, S. S. and Baek, J. J.: *HWAHAK KONGHAK*, (to be submitted) (1995).
36. Kelen, T. and Tüdös, F.: *J. Macromol. Sci. Chem.*, **A-9**(1), 1 (1975).
37. Barb, W. G.: *J. Polym. Sci.*, 37(1959).
38. Mayo, F. R. and Walling, C.: *Chem. Rev.*, **46**, 191(1950).
39. Walling, C.: *J. Am. Chem. Sci.*, **71**, 1930(1949).
40. 柚口貞夫: "高分子化學", 第15卷, 154, p. 129(1958).
41. Brandrup, J. and Immergut, E. H.: "Polymer Handbook", 2nd Edition, John Wiley & Sons, Inc., New York, P II 250(1975).